

О СПЕКТРЕ ПЛАЗМЕННЫХ КОЛЕБАНИЙ В СТРУКТУРАХ С ПЕРИОДИЧЕСКИ-НЕОДНОРОДНОЙ ДВУМЕРНОЙ ЭЛЕКТРОННОЙ ПЛАЗМОЙ

О. Р. Матов, О. Ф. Мешков, В. В. Попов*

*Саратовский филиал Института радиотехники и электроники
Российской академии наук
410019, Саратов, Россия*

Поступила в редакцию 16 мая 1997 г.

Развита строгая электродинамическая теория плазменных колебаний в периодически-неоднородной двумерной электронной системе с прямоугольным профилем пространственной модуляции равновесной концентрации электронов. Вычислены частоты и радиационное затухание основных типов плазменных колебаний с нулевым приведенным волновым вектором. Показано, что расщепление частот и радиационное затухание колебаний немонотонным образом зависят от глубины пространственной модуляции и отношения ширины полос двумерной плазмы с низкой и высокой концентрациями электронов. Результаты расчетов сравниваются с данными известных экспериментов, а также с теорией возмущений, разработанной ранее в работах других авторов. Обсуждается физический механизм возникновения радиационного затухания плазменных колебаний.

1. ВВЕДЕНИЕ

Плазменные колебания в периодически-неоднородных двумерных ($2D$) электронных системах исследовались экспериментально методом субмиллиметровой фурье-спектроскопии в работах [1–7]. В экспериментах использовались МДП-структуры на основе p -Si [1–4] и гетероструктуры GaAs/AlGaAs [5–7]. Периодическая пространственная модуляция плотности $2D$ -электронной плазмы N_s в инверсионном канале МДП-структуры или в гетеропереходе GaAs/AlGaAs создавалась за счет эффекта поля при подаче электрического смещения (положительного в случае МДП-структуры и отрицательного в случае гетероперехода GaAs/AlGaAs) на периодический затворный электрод. В качестве затворного электрода использовался сплошной полупрозрачный для электромагнитных волн проводящий слой NiCr с периодической гофрировкой [1–6] или металлическая (Al) решетка [7]. Типичный период модуляции $L \approx (0.5 \div 1)$ мкм. Плазменные колебания проявляются в виде резонансов в спектрах прохождения электромагнитного излучения через исследуемые структуры.

Основные результаты экспериментальных исследований сводятся к следующему. С увеличением глубины пространственной модуляции плотности электронной $2D$ -плазмы при фиксированной средней поверхностной плотности электронов \bar{N}_s частоты плазменных колебаний уменьшаются. Заметим, что в случае однородного $2D$ -слоя ($\bar{N}_s = N_s$) частота плазменных колебаний ω_p пропорциональна $\sqrt{N_s}$ [8, 9]:

$$\omega_p = \sqrt{N_s e^2 k / 2m^* \epsilon_0 \bar{\epsilon}}, \quad (1)$$

* E-mail: vapr@scnit.saratov.su

где k — волновое число плазмона, e и m^* — соответственно заряд и эффективная масса электрона, ε_0 — электрическая постоянная, $\bar{\varepsilon}$ — эффективная диэлектрическая проницаемость, зависящая от геометрии структуры. Наблюдаемые в экспериментах [1–7] резонансы соответствуют возбуждению плазменных колебаний с волновыми числами $k = k_n = 2n\pi/L$ ($n = 1, 2, 3, \dots$).

В периодически-неоднородной электронной $2D$ -системе наряду с уменьшением частот плазменных колебаний наблюдается расщепление плазменных резонансов, связанное с возникновением частотных запрещенных минизон в сплошном плазмонном спектре (1). При этом расщепление резонансов наиболее выражено для структур с асимметричными профилями распределения плотности электронов [3].

С ростом глубины модуляции непрерывность электронной $2D$ -системы в конечном счете нарушается и возникает периодическая система изолированных квазиодномерных электронных каналов [5, 6]. Частота плазменных колебаний электронов, локализованных в этих каналах, возрастает с уменьшением средней поверхностной плотности электронов.

Теоретическое исследование плазменных колебаний в периодически-неоднородной электронной $2D$ -плазме было впервые проведено в работе [10] в приближении слабой пространственной модуляции равновесной плотности электронов. Спектр плазменных колебаний при $k_n = 2n\pi/L$ ($n = 1, 2, 3, \dots$) описывается согласно [10] выражениями

$$\omega_n^\pm = \omega_p^{(0)} (1 \pm |N_{2n}|/N_0)^{1/2}, \quad (2)$$

где ω_n^+ и ω_n^- — соответственно верхняя и нижняя границы $2n$ -ой запрещенной полосы частот (запрещенные зоны с нечетными порядковыми номерами возникают при $k_n = (2n - 1)\pi/L$), N_{2n} — коэффициенты разложения периодического распределения плотности электронов в ряд Фурье, $N_{2n} \ll N_0$, $N_0 = \bar{N}_s$; $\omega_p^{(0)}$ выражается формулой (1) с заменой N_s на N_0 . Как видно из (2), теория возмущений не предсказывает уменьшения средней частоты (эффект «смягчения») плазменных колебаний $(\omega_n^+ + \omega_n^-)/2$ с ростом глубины модуляции. Кроме того, наблюдаемое в экспериментах [1–3] расщепление плазменных резонансов $\Delta\omega_1 = \omega_1^+ - \omega_1^-$ значительно превышает (в ряде экспериментов более чем в два раза) величину, вычисленную с использованием формулы (2).

Эффект «смягчения» плазменных колебаний с ростом глубины модуляции плотности электронов в $2D$ -системе впервые получил теоретическое обоснование в работе [11]. Из дальнейших теоретических исследований [12, 13] следует, что частоты ω_n^\pm уменьшаются до нуля, когда амплитуда модуляции достигает единицы (что соответствует нарушению непрерывности $2D$ -системы). Вывод о снижении частоты плазменных колебаний с ростом глубины пространственной модуляции в сплошной электронной $2D$ -системе, полученный в рамках классического гидродинамического описания, подтверждается результатами строгого квантовомеханического расчета [14].

Возрастание частоты плазменных колебаний электронов, локализованных в системе изолированных квазиодномерных каналов, при уменьшении средней поверхностной плотности электронов объяснено в работе [15]. Приближенная теория прохождения электромагнитных волн через структуру с периодически-неоднородной электронной $2D$ -плазмой при произвольной глубине модуляции была построена в [16].

Во всех упомянутых выше работах плазменные колебания рассматривались в электростатическом приближении. Однако, как уже отмечалось, наблюдаемые в экспери-

ментах с периодически-неоднородными электронными $2D$ -системами плазменные колебания имеют волновые числа $k_n = 2n\pi/L$ ($n = 1, 2, 3, \dots$), что соответствует центру первой зоны Бриллюэна ($k = 0$) в приведенной зонной схеме для периодической структуры. Поэтому плазменные колебания оказываются связанными с однородными (в плоскости $2D$ -системы) полями поперечных электромагнитных волн. Именно из-за наличия такой связи оказывается возможным поглощение (или излучение) электромагнитных волн плазменными колебаниями в периодических структурах. В этом случае для адекватного описания колебаний $2D$ -плазмы необходимо использовать строгий электродинамический подход. Характеристикой связи плазменных колебаний с электромагнитным излучением является их радиационное затухание [17]. Электростатическое приближение, естественно, не позволяет ответить на вопрос о величине радиационного затухания той или иной плазменной моды.

В работах [18–21] была развита строгая электродинамическая теория плазменных колебаний в однородной электронной $2D$ -плазме с учетом их связи с электромагнитным излучением в структурах с периодической металлической решеткой, в том числе в присутствии внешнего постоянного магнитного поля, направленного нормально к плоскости электронной $2D$ -системы [22]. Метод, основанный на использовании техники матрицы рассеяния [18], был применен в работе [7] для исследования плазменных колебаний в периодически-неоднородной электронной $2D$ -системе. Результаты расчета позволили количественно объяснить данные экспериментов той же работы [7] по субмиллиметровой фурье-спектроскопии плазменных $2D$ -колебаний в структуре GaAs/AlGaAs с затворным электродом в виде периодической металлической решетки. В частности, был теоретически подтвержден эффект уменьшения частоты плазменных $2D$ -колебаний с ростом глубины пространственной модуляции плотности электронов. Однако теоретические результаты работы [7] невозможно применить непосредственно для объяснения экспериментов [1–3, 5, 6], в которых модуляция плотности электронов в $2D$ -системе осуществлялась с помощью полупрозрачного сплошного затворного электрода с периодической гофрировкой. Кроме того, в [7] расчеты проводились для фиксированного соотношения ширины полос электронной $2D$ -плазмы с высокой и низкой концентрациями электронов, что не позволяет описать целый ряд особенностей плазмонного спектра в периодической $2D$ -системе.

Наблюдаемое в экспериментах расщепление плазменных резонансов было теоретически исследовано, как уже отмечалось выше, только в рамках теории возмущений в электростатическом приближении.

С целью теоретического анализа особенностей плазменных колебаний в периодически-неоднородных электронных $2D$ -системах в связи с данными вышеупомянутых экспериментов и для установления пределов применимости теории возмущений в настоящей работе получает дальнейшее развитие строгий электродинамический подход, разработанный авторами ранее при теоретическом исследовании плазменных $2D$ -колебаний в полупроводниковой гетероструктуре с латеральной периодической металлической решеткой [18, 19].

В разд. 2 дано описание используемой теоретической модели и приведены основные соотношения. В разд. 3 обсуждаются результаты расчета в сравнении с имеющимися экспериментальными и теоретическими данными. Выводы к полученным результатам собраны в заключении.

2. ОПИСАНИЕ МОДЕЛИ И ОСНОВНЫЕ СООТНОШЕНИЯ

Пусть электронная $2D$ -плазма находится на поверхности подложки (плоскость $y = 0$) с диэлектрической проницаемостью ε_1 . Равновесная поверхностная концентрация электронов в плоскости $2D$ -системы является периодической функцией координаты x : $N_s(x) = N_s(x + L)$ вида

$$N_s(x) = \begin{cases} N_A & \text{при } 0 < x < w \\ N_B & \text{при } w < x < L \end{cases} \quad (3)$$

Будем считать, что над $2D$ -плазмой расположен слой диэлектрика толщиной d , а еще выше (при $y > d$) — среда с диэлектрическими проницаемостями соответственно ε_2 и ε_3 .

В соответствии с условиями экспериментов [1–3, 5, 6] положим искомые электрические и магнитные поля однородными вдоль полос $2D$ -плазмы (направление z) и ограничимся рассмотрением случая TM -поляризации, характеризующейся наличием ненулевых компонент электрического поля $E_{x,y}$ и компоненты магнитного поля H_z . Для TE -поляризации $E_x = 0$ и, следовательно, поля с TE -поляризацией не могут взаимодействовать с продольными плазменными колебаниями в направлении x , наблюдаемыми в экспериментах [1–3, 5, 6].

Представим искомые поля и токи в исследуемой периодической структуре в виде разложений по пространственным фурье-гармоникам. Так, для z -компоненты магнитного поля имеем

$$H_z(x, y) = \sum_{m=-\infty}^{\infty} H_{zm}(y) \exp(-i\beta_m x), \quad (4)$$

где

$$H_{zm}(y) = \frac{1}{L} \int_0^L H_z(x, y) \exp(i\beta_m x) dx$$

— амплитуды пространственных фурье-гармоник,

$$\beta_m = k + 2m\pi/L,$$

k — приведенное к центру первой зоны Бриллюэна волновое число. Амплитуды фурье-гармоник магнитного поля в трех различных средах запишем в виде

$$H_{zm}^{(1)}(y) = A_m \exp(\alpha_m^{(1)} y), \quad y \leq 0, \quad (5)$$

$$H_{zm}^{(2)}(y) = B_m \operatorname{sh}(\alpha_m^{(2)} y) + C_m \operatorname{ch}(\alpha_m^{(2)} y), \quad 0 \leq y \leq d, \quad (6)$$

$$H_{zm}^{(3)}(y) = D_m \exp(-\alpha_m^{(3)} y), \quad y \geq d. \quad (7)$$

Здесь $(\alpha_m^{(j)})^2 = \beta_m^2 - k_0^2 \varepsilon_j$ ($j = 1, 2, 3$), $k_0 = \tilde{\omega} \sqrt{\varepsilon_0 \mu_0}$, μ_0 — магнитная постоянная, A_m, B_m, C_m, D_m — константы. Диэлектрические проницаемости ε_j в общем случае могут быть комплексными $\varepsilon_j = \varepsilon_j' + i\varepsilon_j''$, где величины ε_j'' определяются диэлектрическими потерями в соответствующих средах.

При выборе зависимости от времени в виде $\exp(i\tilde{\omega}t)$ из уравнений Максвелла имеем

$$E_{xm}^{(j)} = -\frac{i\tilde{\omega}\mu_0}{k_0^2\varepsilon_j} \frac{\partial H_{zm}^{(j)}}{\partial y}. \quad (8)$$

Запишем граничные условия на поверхностях $y = 0$ и $y = d$:

$$E_{xm}^{(1)} = E_{xm}^{(2)}, \quad H_{zm}^{(2)} - H_{zm}^{(1)} = I_{xm} \quad (9)$$

при $y = 0$ и

$$E_{xm}^{(2)} = E_{xm}^{(3)}, \quad H_{zm}^{(3)} - H_{zm}^{(2)} = 0 \quad (10)$$

при $y = d$, где I_{xm} — амплитуды пространственных фурье-гармоник плотности тока в электронной $2D$ -плазме.

С использованием формул (5)–(10) можно получить следующее соотношение между электрическим полем и плотностью поверхностного тока в плоскости $y = 0$:

$$E_{xm}(0) = G_m I_{xm}. \quad (11)$$

Поверхностный импеданс G_m определяется выражением

$$G_m = iZ_0 \frac{\chi_m^{(3)}/\chi_m^{(2)} + \text{cth}(\alpha_m^{(2)}d)}{\chi_m^{(2)} + \chi_m^{(1)}\chi_m^{(3)}/\chi_m^{(2)} + (\chi_m^{(1)} + \chi_m^{(3)})\text{cth}(\alpha_m^{(2)}d)}, \quad (12)$$

где $\chi_m^{(j)} = \varepsilon_j k_0 / \alpha_m^{(j)}$ и $Z_0 \simeq 377$ Ом — волновое сопротивление свободного пространства.

С другой стороны, для плотности тока в электронной $2D$ -системе имеем

$$I_x(x) = \sigma_A E_x(x, 0) \quad \text{при } 0 < x < w, \quad (13)$$

$$I_x(x) = \sigma_B E_x(x, 0) \quad \text{при } w < x < L. \quad (14)$$

В локальном приближении (модель Друде) поверхностные проводимости $\sigma_{A,B}$ записываются в виде

$$\sigma_{A,B} = \frac{e^2 N_{A,B}}{m^*} \frac{\tau}{1 + i\tilde{\omega}\tau}, \quad (15)$$

где τ — феноменологическое время релаксации импульса электрона в $2D$ -плазме.

Переходя к фурье-представлению в выражениях (13), (14), с учетом соотношения (11) получим

$$\sum_{m=-\infty}^{\infty} (1 - G_m \sigma_A) I_{xm} \exp(-i\beta_m x) = 0, \quad 0 < x < w, \quad (16)$$

$$\sum_{m=-\infty}^{\infty} (1 - G_m \sigma_B) I_{xm} \exp(-i\beta_m x) = 0, \quad w < x < L. \quad (17)$$

Принимая во внимание, что

$$I_{xm} = \frac{1}{L} \int_0^L I_x(x) \exp(i\beta_m x) dx,$$

запишем (16), (17) в виде интегральных уравнений для определения плотности поверхностного тока:

$$\sum_{m=-\infty}^{\infty} (1 - G_m \sigma_A) \exp(-i\beta_m x) \int_0^L I_x(\zeta) \exp(i\beta_m \zeta) d\zeta = 0, \quad 0 < x < w, \quad (18)$$

$$\sum_{m=-\infty}^{\infty} (1 - G_m \sigma_B) \exp(-i\beta_m x) \int_0^L I_x(\zeta) \exp(i\beta_m \zeta) d\zeta = 0, \quad w < x < L. \quad (19)$$

Представим распределение плотности тока на периоде структуры в виде

$$I_x(x) = I_{xA}(x) + I_{xB}(x),$$

где $I_{xA}(x) = 0$ при $w < x < L$, а $I_{xB}(x) = 0$ при $0 < x < w$.

Функции $I_{xA}(x)$ и $I_{xB}(x)$ аппроксимируем соответственно на отрезках $0 < x < w$ и $w < x < L$ с помощью разложений

$$I_{xA}(x) = \exp(-ikx) \sum_{n=0}^N p_n P_n(x'), \quad (20)$$

$$I_{xB}(x) = \exp(-ikx) \sum_{n=0}^N q_n P_n(x''), \quad (21)$$

где $P_n(x')$ и $P_n(x'')$ — полиномы Лежандра первого рода n -го порядка, определенные соответственно на интервалах $0 < x < w$ и $w < x < L$, $x' = 2x/w - 1$, $x'' = 2(x-w)/s - 1$, $s = L - w$, p_n и q_n — неизвестные постоянные коэффициенты. Заметим, что функции $I_{xA,B}(x) \exp(ikx)$ представляют собой комплексные амплитуды плотностей токов $I_{xA,B}(x)$ в электронной $2D$ -системе и являются периодическими функциями координаты x с периодом L .

Представим плотность тока в уравнениях (18), (19) в виде суммы разложений (20) и (21) и применим для решения интегральных уравнений (18), (19) стандартную процедуру Галеркина [23], с использованием в качестве ортогональных базисных функций полиномов Лежандра $P_n(x')$ и $P_n(x'')$ на соответствующих интервалах. Указанная процедура позволяет перейти от системы интегральных уравнений (18), (19) для функции $I_x(x)$ к следующей системе $2(N+1)$ однородных алгебраических уравнений относительно коэффициентов p_n и q_n :

$$\sum_{n=0}^N A_{kn} p_n + \sum_{n=0}^N B_{kn} q_n = 0 \quad (k = 0, 1, 2, \dots, N),$$

$$\sum_{n=0}^N C_{kn} p_n + \sum_{n=0}^N D_{kn} q_n = 0 \quad (k = N+1, \dots, 2N+1),$$
(22)

где

$$\begin{aligned}
 A_{kn} &= wi^n \sum_{m=-\infty}^{\infty} j_k \left(\frac{m\pi w}{L} \right) j_n \left(\frac{m\pi w}{L} \right) (1 - G_m \sigma_A), \\
 B_{kn} &= si^n \sum_{m=-\infty}^{\infty} (-1)^m j_k \left(\frac{m\pi w}{L} \right) j_n \left(\frac{m\pi s}{L} \right) (1 - G_m \sigma_A), \\
 C_{kn} &= wi^n \sum_{m=-\infty}^{\infty} (-1)^m j_k \left(\frac{m\pi s}{L} \right) j_n \left(\frac{m\pi w}{L} \right) (1 - G_m \sigma_B), \\
 D_{kn} &= si^n \sum_{m=-\infty}^{\infty} j_k \left(\frac{m\pi s}{L} \right) j_n \left(\frac{m\pi s}{L} \right) (1 - G_m \sigma_B).
 \end{aligned}
 \tag{23}$$

Сферические функции Бесселя первого рода n -го порядка $j_n(m\pi w/L)$ и $j_n(m\pi s/L)$ появляются в выражениях (23) в результате вычисления интегралов вида [24]

$$\int_{-1}^1 P_n(\zeta) \exp(i\rho\zeta) d\zeta = 2i^n j_n(\rho),$$

возникающих после подстановки разложений (20), (21) в уравнения (18), (19).

Дисперсионное уравнение, устанавливающее связь частоты и приведенного волнового числа собственных колебаний системы, определяется из условия равенства нулю определителя системы линейных однородных уравнений (22). При заданной действительной величине волнового числа k корни дисперсионного уравнения дают значения комплексных частот $\tilde{\omega} = \omega + i\gamma$. Реальная часть ω соответствует частоте собственных колебаний, а мнимая часть γ представляет собой коэффициент их затухания, обусловленного как диссипативными потерями, так и электромагнитным излучением из структуры (радиационные потери). В случае пренебрежения диссипативными потерями $\gamma = \gamma_r$, где γ_r — радиационное затухание.

Процедура Галеркина и ряды (23) являются сходящимися. Ниже представлены результаты численных расчетов, выполненных при $N = 4$ и удержании в рядах (23) членов с $|m| \leq 30$, что позволяет обеспечить погрешность в определении собственных частот не более 1%.

3. РЕЗУЛЬТАТЫ И ОБСУЖДЕНИЕ

В данном разделе обсуждаются результаты расчетов для электронной $2D$ -системы с периодическим профилем распределения равновесной концентрации электронов вида (3) при значениях амплитуды модуляции

$$\Delta n_s = \frac{N_A - N_B}{2N_s} < 1 \quad (N_A > N_B > 0).$$

В соответствии с экспериментальной ситуацией будем исследовать плазменные колебания с волновым числом $k = 0$. Именно эти возбуждения проявляются в виде плазменных резонансов в спектрах прохождения внешней (однородной в плоскости $2D$ -

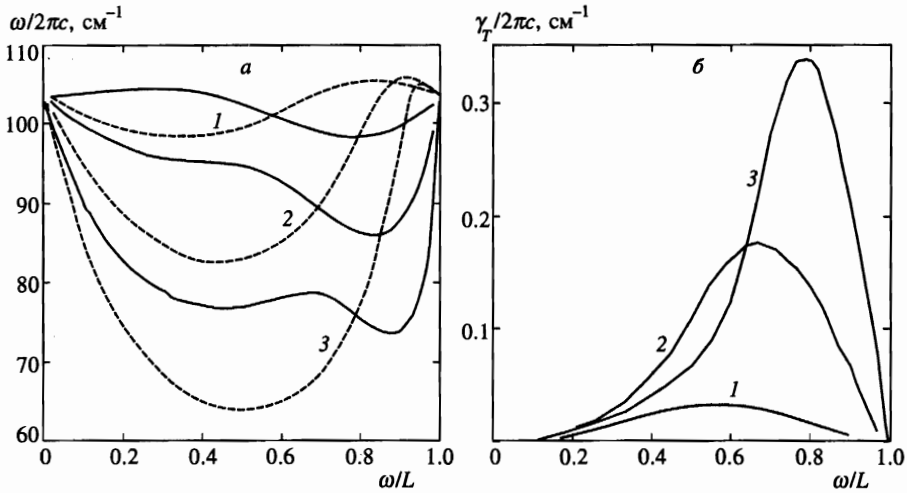


Рис. 1. Зависимости частот (а) и радиационного затухания (б) для радиационного (сплошные линии) и нерадиационного (штриховые линии) плазменных колебаний от w/L при различных значениях амплитуды пространственной модуляции концентрации электронов $\Delta n_s = 0.2$ (1), 0.5 (2), 0.7 (3). Параметры структуры: $\epsilon_1 = 11.45$, $\epsilon_2 = 3.9$, $\epsilon_3 = 1$, $\bar{N}_s = 3 \cdot 10^{12} \text{ см}^{-2}$, $L = 6 \cdot 10^{-5} \text{ см}$, $d = 2 \cdot 10^{-6} \text{ см}$, $m^* = 0.2m_e$, $c = 1/\sqrt{\epsilon_0\mu_0}$ — скорость света

системы) электромагнитной волны через исследуемые структуры в экспериментах [1–3, 5, 6].

Наличие периодического профиля распределения равновесной концентрации электронов в $2D$ -системе приводит к расщеплению каждого плазменного колебания с волновым числом $k_n = 2n\pi/L$ (что соответствует $k = 0$ в приведенной зонной схеме) на два колебания с различными частотами ω_n^\pm . В рассматриваемом случае симметричного профиля распределения равновесной концентрации электронов (3) относительно центров интервалов $0 < x < w$ и $w < x < L$ одно из этих колебаний является нерадиационным ($\gamma_r = 0$), в то время как другое имеет ненулевое радиационное затухание. Очевидно, что только радиационные моды могут непосредственно взаимодействовать с внешней электромагнитной волной и, таким образом, наблюдаться в экспериментах.

Величина радиационного затухания быстро уменьшается с ростом n , в результате чего плазменные резонансы с $n = 1$ оказываются наиболее сильно выраженными в спектрах прохождения электромагнитной волны. В связи с этим в дальнейшем ограничимся рассмотрением основных (нижних по частоте) плазменных колебаний с $n = 1$, опуская для простоты индекс 1.

На рис. 1 представлены результаты расчета частот и радиационного затухания плазменных колебаний в зависимости от величины параметра w/L , полученные без учета диссипативных потерь в структуре ($\tau \rightarrow \infty$, $\epsilon_j'' = 0$). Значения других параметров являются характерными для МДП-структур на основе p -Si, используемых в экспериментах [1–3]. Средняя поверхностная концентрация электронов $\bar{N}_s = (N_A w + N_B s)/L$ полагалась постоянной. Распределения компоненты электрического поля $E_x(x)$ и осцилляций плотности поверхностного заряда $\rho(x)$ в плоскости $2D$ -системы показаны на рис. 2 для радиационного и нерадиационного колебаний.

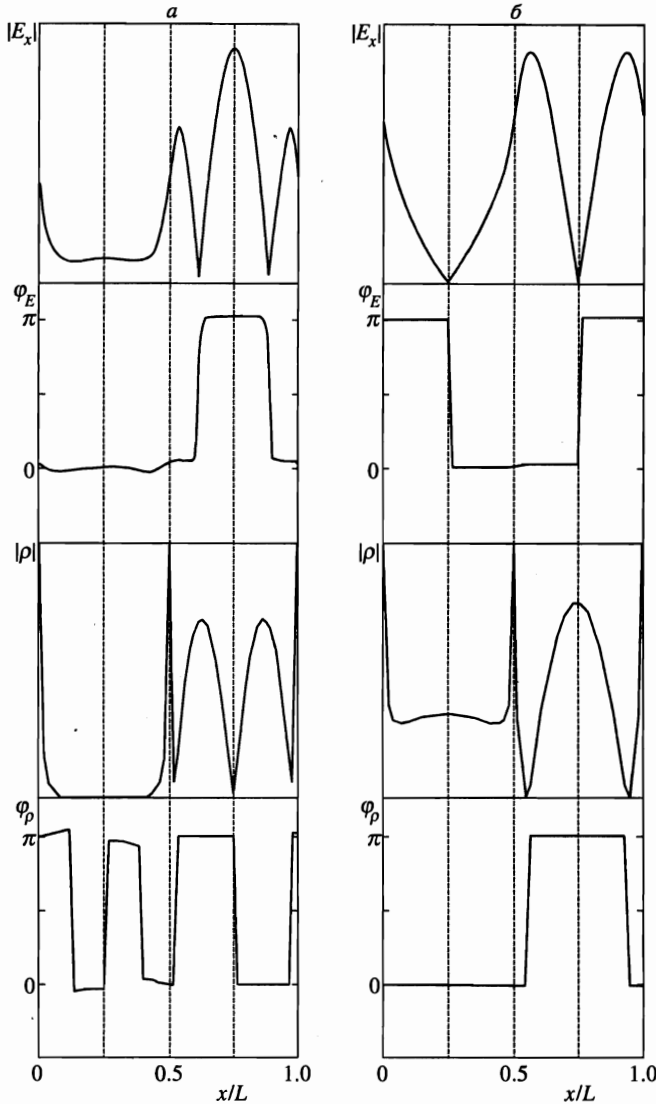


Рис. 2. Распределение амплитуд и фаз продольного электрического поля $E_x = |E_x| \exp(i\varphi_E)$ и осцилляций плотности поверхностного заряда $\rho = |\rho| \exp(i\varphi_\rho)$ в плоскости электронной 2D-системы для радиационного (а) и нерadiационного (б) колебаний при $\omega/L = 0.5$, $\Delta n_s = 0.7$. Остальные параметры структуры те же, что и на рис. 1

Как видно из рис. 1 частоты плазменных колебаний уменьшаются с ростом глубины модуляции равновесной концентрации электронов практически во всем диапазоне изменения параметра ω/L , что связано с локализацией поля колебаний в области 2D-плазмы с меньшей концентрацией электронов (рис. 2). Естественно, что при $\omega/L = 0$ и $\omega/L = 1$ частоты ω^+ и ω^- совпадают и равны частоте плазменных колебаний в структуре с однородным электронным 2D-слоем с концентрацией элект-

тронов $N_s = \overline{N}_s$. Теоретически частоты плазменных колебаний стремятся к нулю при $\Delta n_s \rightarrow 1$ ($N_B \rightarrow 0$). Эти выводы согласуются с теоретическими результатами, полученными ранее [7, 11–13].

Расщепление частот $\Delta\omega = \omega^+ - \omega^-$ радиационного и нерадиационного колебаний немонотонным образом зависит от величины параметра w/L . При малых значениях w/L частота радиационного колебания больше частоты нерадиационной моды, а при больших значениях w/L ситуация меняется на противоположную. Значение w/L , при котором происходит вырождение колебаний ($\omega^+ = \omega^-$), приближается к 0.5 по мере уменьшения глубины модуляции, что согласуется с формулой теории возмущений (2) при подстановке в нее значения

$$\frac{|N_2|}{N_0} = \frac{\sin(2\pi w/L)}{2\pi(N_B/(N_A - N_B) + w/L)}, \quad (24)$$

соответствующего заданному профилю распределения концентрации (3). Как показывают проведенные оценки, теория возмущений демонстрирует удовлетворительное (в пределах 1%) совпадение с результатами строгого расчета величины $\Delta\omega$ только при $\Delta n_s < 0.05$.

Асимметрия периодического профиля распределения концентрации электронов в 2D-системе (не учитываемая в настоящей работе) в принципе должна приводить к радиационному затуханию обоих основных плазменных колебаний, что предоставляет возможность экспериментально наблюдать расщепление частот этих колебаний. Расщепление плазменного резонанса, обусловленное возбуждением плазменных колебаний на частотах ω^+ и ω^- , наблюдалось в экспериментах [1–3], что свидетельствует о нарушении (в ряде работ [1, 2] — неконтролируемом) симметрии профиля распределения концентрации. Кроме того, в работах [1–3] изолирующий диэлектрический слой (SiO_2) имел периодически-изменяющуюся толщину, что также не учитывается в теории. Отмеченные факты затрудняют непосредственное количественное сравнение данных указанных экспериментов с результатами расчетов. Так, например, оценки, проведенные по формуле теории возмущений (2) с использованием выражения (24), дают значение $\Delta\omega$, которое более чем в два раза меньше экспериментально наблюдаемой величины [1]. Наш строгий расчет дает еще меньшее (примерно на 15%) значение $\Delta\omega$ для реализуемой в [1] глубины модуляции равновесной концентрации электронов $\Delta n_s \simeq 0.26$. Учет диссипативных потерь путем включения в расчеты характерных для эксперимента [1] величин τ и ϵ_j'' практически (с погрешностью < 1%) не изменяет значений собственных частот. По нашему мнению, основной причиной, приводящей к существенному расхождению экспериментальных и теоретических данных, является присутствие в экспериментальных структурах дополнительной неоднородности, связанной с периодическим гофрированием поверхности диэлектрического слоя. Заметим, что в работе [3] сообщается о наблюдении заметного расщепления плазменного резонанса при значении параметра $w/L = 0.5$ и глубине модуляции $\Delta n_s \simeq 0.7$, что качественно согласуется с результатами расчета, представленными на рис. 1а. Теория возмущений дает в этом случае $\Delta\omega = 0$ и поэтому не может использоваться даже для качественного объяснения эксперимента [3].

Как и следовало ожидать, максимальное значение радиационного затухания увеличивается с ростом глубины модуляции, однако максимум γ_r при этом сдвигается в сторону больших значений w/L (рис. 1б). В результате возникает немонотонная зависимость γ_r от глубины модуляции при любой фиксированной величине w/L .

Из рис. 2а видно, что распределение компоненты электрического поля E_x радиационного плазменного колебания обладает симметрией относительно центров интервалов $0 < x < w$ и $w < x < L$. В то же время распределение $E_x(x)$ для нерадиационной моды (рис. 2б) имеет узлы в центральных точках этих интервалов, т. е. является антисимметричным. Распределения неравновесных добавок к плотности поверхностного заряда $\rho(x)$ для радиационного и нерадиационного колебаний характеризуются противоположной четностью симметрии по сравнению с соответствующими распределениями $E_x(x)$. Таким образом, в случае радиационного колебания в плоскости электронной $2D$ -системы формируется цепочка электрических диполей, образованных неравновесными зарядами противоположных знаков на границах полосок $2D$ -плазмы с различными равновесными концентрациями электронов. Электромагнитное излучение этих диполей и является причиной радиационного затухания. В случае нерадиационного колебания такие диполи не образуются (см. распределение $\rho(x)$ на рис. 2б). При асимметричном профиле распределения равновесной плотности электронной $2D$ -плазмы симметрия распределений $E_x(x)$ и $\rho(x)$ будет нарушаться, что должно приводить к радиационному затуханию обоих колебаний.

4. ЗАКЛЮЧЕНИЕ

В работе проведен теоретический анализ плазменных колебаний в периодически-неоднородной электронной $2D$ -плазме. Рассмотрена модель сплошной электронной $2D$ -системы с прямоугольным профилем пространственной модуляции равновесной концентрации электронов при произвольной глубине модуляции.

В рамках строгого электродинамического подхода вычислены частоты и радиационное затухание для двух основных (нижних по частоте) типов плазменных колебаний с нулевым приведенным волновым вектором. Расщепление частот плазменных колебаний немонотонным образом зависит от отношения s/w ширины полос $2D$ -плазмы соответственно с низкой и высокой концентрациями электронов. При некотором значении s/w внутри интервала $0 < s/w < 1$ наступает вырождение и происходит инверсия частот колебаний. С ростом глубины модуляции вырождение наступает при меньших значениях параметра s/w .

Результаты строгого расчета сравнены с опубликованными экспериментальными данными по субмиллиметровой фурье-спектроскопии плазменных колебаний в периодически-неоднородной электронной $2D$ -плазме, а также с результатами разработанной ранее приближенной теории малого периодического возмущения равновесной концентрации электронов. Установлено, что теория возмущений дает удовлетворительное совпадение с результатами строгого расчета только при значениях амплитуды модуляции концентрации $\Delta n_s < 0.05$. Наиболее вероятной причиной значительного расхождения экспериментальных и теоретических значений величины расщепления частот представляется присутствие в экспериментальных структурах периодического затворного электрода, влияние которого не учитывается в теории.

Вследствие симметрии рассматриваемого в данной работе периодического профиля распределения равновесной концентрации электронов одно из основных плазменных колебаний является нерадиационным. Максимальное значение радиационного затухания γ_r другого основного колебания увеличивается с ростом глубины модуляции, однако максимум γ_r при этом наблюдается при меньших значениях s/w . В результате

возникает немонотонная зависимость радиационного затухания от амплитуды модуляции равновесной концентрации электронов при любом фиксированном значении s/w .

На основе анализа распределений продольного электрического поля радиационного и нерадиационного плазменных колебаний и распределений неравновесной плотности поверхностного заряда в плоскости электронной $2D$ -плазмы предложено объяснение физического механизма электромагнитного излучения из структуры.

Работа выполнена при финансовой поддержке Российского фонда фундаментальных исследований (код проекта 96-02-19211).

Литература

1. U. Mackens, D. Heitmann, L. Prager et al., *Phys. Rev. Lett.* **53**, 1485 (1984).
2. D. Heitmann, J. P. Kotthaus, U. Mackens, and W. Beinvogl, *Superlattices and Microstructures* **1**, 35 (1985).
3. D. Heitmann, *Surf. Sci.* **170**, 332 (1986).
4. T. Zettler and J. P. Kotthaus, *Semicond. Sci. Technol.* **3**, 413 (1988).
5. J. P. Kotthaus, W. Hansen, H. Pohlmann, and M. Wassermeier, *Surf. Sci.* **196**, 600 (1988).
6. T. Demel, D. Heitmann, and P. Grambow, in *Proc. of NATO ARW on «Spectroscopy of Semiconductor Microstructures»*, Venice (1989), NATO ASI Series, Series B: Physics, ed. by G. Fasol, A. Fasolino, and P. Lugly, Plenum Press, New York and London (1989), Vol. 206, p. 75.
7. R. J. Wilkinson, C. D. Ager, T. Duffield et al., *J. Appl. Phys.* **71**, 6049 (1992).
8. T. N. Theis, *Surf. Sci.* **98**, 515 (1980).
9. A. V. Chaplik, *Surf. Sci. Rep.* **5**, 289 (1985).
10. М. В. Крашенинников, А. В. Чаплик, *ФТП* **15**, 32 (1981).
11. G. Eliasson, P. Hawrylak, Ji-Wei Wu, and J. J. Quinn, *Solid State Commun.* **60**, 3 (1986).
12. V. Cataudella and V. M. Ramaglia, *Phys. Rev. B* **38**, 1838 (1988).
13. S. V. Meshkov, *J. Phys.: Condens. Matter* **3**, 1773 (1991).
14. U. Wulf, E. Zeeb, P. Gies et al., *Phys. Rev. B* **42**, 7637 (1990).
15. В. Б. Шикин, Т. Демель, Д. Хайтман, *ЖЭТФ* **96**, 1406 (1989).
16. W. L. Schaich, P. W. Park, and A. H. MacDonald, *Phys. Rev. B* **46**, 12643 (1992).
17. М. В. Крашенинников, А. В. Чаплик, *ЖЭТФ* **88**, 129 (1985).
18. C. D. Ager and H. P. Hughes, *Phys. Rev. B* **44**, 13452 (1991).
19. О. Р. Матов, О. В. Полищук, В. В. Попов, *Письма в ЖТФ* **18**, 86 (1992).
20. C. D. Ager, R. J. Wilkinson, and H. P. Hughes, *J. Appl. Phys.* **71**, 1322 (1992).
21. O. R. Matov, O. V. Polischuk, and V. V. Popov, *Int. J. Infrared and Millimeter Waves* **14**, 1455 (1993).
22. О. Р. Матов, О. Ф. Мешков, О. В. Полищук, В. В. Попов, *ЖЭТФ* **109**, 876 (1996).
23. Г. Корн, Т. Корн, *Справочник по математике для научных работников и инженеров*, пер. с англ. под ред. И. Г. Арамановича, Наука, Москва (1978).
24. В. Я. Арсенин, *Методы математической физики и специальные функции*, Наука, Москва (1974), с. 346.